

一、推导计算题（共 2 小题，每小题 15 分，共 30 分）

1、请推导无损耗情况下，波导中光脉冲的非线性传播方程（10）；并通过无量纲变换，推导出其对应的无量纲非线性薛定谔方程（5分）。

将非线性极化看做微扰项，先求解 $\delta n_{NL} = 0$ 的传播常数，

波导中的电场（单色）可以表示成：

$$E(\omega) = u(x, y, \omega) e^{i(\omega t - \beta z)}$$

代入线性波动方程

$$\nabla_T^2 E + \frac{\partial^2 E}{\partial z^2} - \mu_0 \varepsilon_{(1)} \frac{\partial^2 E}{\partial t^2} = 0$$

得到

$$\nabla_T^2 u + (\mu_0 \varepsilon_{(1)} \omega^2 - \beta^2) u = 0$$

这就是波导中的线性传播方程。其中 $\varepsilon_{(1)}(x, y, \omega)$ 依赖于空间坐标，因此第二项不再满足 $\mu_0 \varepsilon_{(1)} \omega^2 - \beta^2 = 0$ ，需结合第一项，修正 β 取值。换句话说，通过 $\varepsilon_{(1)}(x, y, \omega)$ 的分布，可求得波导的横模 u 和相应的分立的传播常数 β 。

$$E(z, t) = a(z, t) e^{i(\omega_0 t - \beta_0 z)} u(x, y)$$

$$P_{NL}(x, y, z, t) = \tilde{P}_{NL}(x, y, z) e^{i\omega_0 t}$$

脉冲包络傅里叶变换

$$A(z, \Omega) = \int a(z, t) e^{-i\Omega t} dt, \quad \Omega = \omega - \omega_0$$

$$a(z, t) = \frac{1}{2\pi} \int A(z, \Omega) e^{i\Omega t} d\Omega, \quad \Omega = \omega - \omega_0$$

$$\nabla_T^2 E + \frac{\partial^2 E}{\partial z^2} - \mu_0 \varepsilon_{(1)} \frac{\partial^2 E}{\partial t^2} = \mu_0 \frac{\partial^2 P_{NL}}{\partial t^2}$$

$$\int \frac{d\Omega}{2\pi} \left\{ \nabla_T^2 - \beta_0^2 - 2i\beta_0 \frac{\partial}{\partial z} + \frac{\partial^2}{\partial z^2} + \omega^2 \mu_0 \varepsilon_{(1)} \right\} A u e^{i(\Omega + \omega_0)t} = \mu_0 \frac{\partial^2 P_{NL}}{\partial t^2} e^{i\beta_0 z}$$

$$\nabla_T^2 u + (\mu_0 \varepsilon_{(1)} \omega^2 - \beta^2) u = 0, \quad \frac{\partial^2 A}{\partial z^2} \rightarrow 0$$

$$\int \frac{d\Omega}{2\pi} \left\{ \beta^2 - \beta_0^2 - 2i\beta_0 \frac{\partial}{\partial z} \right\} A u e^{i(\Omega + \omega_0)t} = \mu_0 \frac{\partial^2 P_{NL}}{\partial t^2} e^{i\beta_0 z}$$

$$\int \frac{d\Omega}{2\pi} \left\{ \beta^2 - \beta_0^2 - 2i\beta_0 \frac{\partial}{\partial z} \right\} A u e^{i(\Omega + \omega_0)t} = \mu_0 \frac{\partial^2 P_{NL}}{\partial t^2} e^{i\beta_0 z}$$

$$\begin{cases} \beta(\omega) \approx \beta_0 + \beta_1 \Omega + \frac{1}{2} \beta_2 \Omega^2 - \frac{i}{2} \alpha \\ \beta(\omega) + \beta_0 \approx 2\beta_0 \end{cases}$$

$$\int \frac{d\Omega}{2\pi} \left\{ i \left(\beta_1 \Omega + \frac{1}{2} \beta_2 \Omega^2 - \frac{i}{2} \alpha \right) A + \frac{\partial A}{\partial z} \right\} u e^{i\Omega t} = \frac{-i\mu_0 \omega_0^2}{2\beta_0} \tilde{P}_{NL} e^{i\beta_0 z}$$

$$a(z, t) = \frac{1}{2\pi} \int A(z, \Omega) e^{i\Omega t} d\Omega, \quad \Omega = \omega - \omega_0$$

$$\left\{ \frac{\partial a}{\partial z} + \beta_1 \frac{\partial a}{\partial t} - \frac{i\beta_2}{2} \frac{\partial^2 a}{\partial t^2} + \frac{\alpha}{2} a \right\} u = \frac{-i\mu_0 \omega_0^2}{2\beta_0} \tilde{P}_{NL} e^{i\beta_0 z}$$

$$P_{NL} \approx 2n_0 \varepsilon_0 \delta n_{NL} E, \quad \delta n_{NL} = n_2 I = n_2 \cdot \frac{1}{2} c n_0 \varepsilon_0 |a \cdot u|^2$$

$$\left(\frac{\partial a}{\partial z} + \beta_1 \frac{\partial a}{\partial t} - \frac{i\beta_2}{2} \frac{\partial^2 a}{\partial t^2} + \frac{\alpha}{2} a \right) \cdot \iint |u|^2 dx dy + \frac{i\varepsilon_0 \omega_0}{2} |a|^2 a \cdot \iint n_0 n_2 |u|^4 dx dy = 0 \quad \text{乘以 } u^* \text{ 并两边对横向积分}$$

$$\frac{\partial a}{\partial z} + \beta_1 \frac{\partial a}{\partial t} - \frac{i\beta_2}{2} \frac{\partial^2 a}{\partial t^2} + \frac{\alpha}{2} a + i\kappa |a|^2 a = 0$$

$$\kappa = \frac{\omega_0 n_0 n_2 \varepsilon_0}{2} \frac{\iint |u|^4 dx dy}{\iint |u|^2 dx dy}$$

描述波导中光脉冲的传播方程

无损耗方程光脉冲的非线性传播方程： $\frac{\partial a}{\partial z} + \beta_1 \frac{\partial a}{\partial t} - \frac{i\beta_2}{2} \frac{\partial^2 a}{\partial t^2} + i\kappa |a|^2 a = 0$

变量替换

$$\tau = \frac{t - z/v_g}{T_0} \quad T_0 \text{ 为任意时间尺度因子}$$

$$\xi = \frac{|\beta_2|z}{T_0^2} \quad \xi \text{ 为无量纲传输}$$

$$a(z, \tau) = E_p u(z, \tau) \quad E_p \text{ 为脉冲峰值场强}$$

$$E_p^2 = \frac{|\beta_2|}{\kappa T_0^2}$$

忽略损耗，坐标变化，得无量纲非线性薛定谔方程

$$\frac{\partial u}{\partial \xi} - i \frac{\text{sgn}(\beta_2)}{2} \frac{\partial^2 u}{\partial \tau^2} + i \text{sgn}(n_2) |u|^2 u = 0$$

2、请从麦克斯韦方程组出发，推导小信号近似情况下三次谐波的转换效率表达式（15分）。

1) 从麦克斯韦方程到各项同性介质中的频率波动方程

麦氏方程组

得到基本波动方程

$$\nabla \times \vec{E} = -\frac{\partial \vec{B}}{\partial t}$$

非磁性介质

$$\nabla \times \vec{H} = \frac{\partial \vec{D}}{\partial t} + \vec{J}$$

$$\text{其中 } \vec{D} = \epsilon_0 \vec{E} + \epsilon_0 \chi^{(1)} \vec{E} + \vec{P}_{NL}$$

$$= \vec{\epsilon} \vec{E} + \vec{P}_{NL}$$

$$\nabla \cdot \vec{D} = \rho$$

$$\text{其中 } \vec{\epsilon} = \epsilon_0 [1 + \chi^{(1)}]$$

$$\nabla \cdot \vec{B} = 0$$

$$\nabla \times \vec{E} = -\mu_0 \frac{\partial \vec{H}}{\partial t} \quad (1)$$

$$\nabla \times \vec{D} = \frac{\partial \vec{D}}{\partial t} + \sigma \vec{E} \quad (2)$$

$$\vec{D} = \vec{\epsilon} \vec{E} + \vec{P}_{NL} \quad (3)$$

将 (1) 两边进行 $\nabla \times$ 运算，在将 (2) 带入，利用 (3) 可以得到
同时，假设介质无损 ($\sigma=0$)，并且 $c = 1 / \sqrt{\mu_0 \epsilon_0}$

$$[\nabla \times (\nabla \times) + \frac{1}{\epsilon_0 c^2} \frac{\partial^2}{\partial t^2} \epsilon \cdot] \vec{E}(\vec{r}, t) = -\frac{1}{\epsilon_0 c^2} \frac{\partial^2}{\partial t^2} \vec{P}_{NL}(r, t) \quad (4)$$

1) 从麦克斯韦方程到各项同性介质中的频率波动方程

对 (4) 做傅里叶变换:

$$\because \vec{E}(\vec{r}, t) = \sum_i \vec{E}_i(\vec{k}_i, \vec{\omega}_i) = \sum_i \vec{E}_i e^{i(\vec{k}_i \vec{r} - \omega_i t)} \quad \vec{P}_{NL}(r, t) = \sum_i \vec{P}_{NL}(\vec{k}_i, \vec{\omega}_i) e^{i(\vec{k}_i \vec{r} - \omega_i t)}$$

$$\text{上式带入 (4): } [\nabla \times (\nabla \times) - \frac{\omega^2}{\epsilon_0 c^2} \epsilon] \vec{E}(\vec{k}, \omega) = -\frac{\omega^2}{\epsilon_0 c^2} \vec{P}_{NL}(\vec{k}', \omega) \quad (4)$$

考虑各向同性: $\nabla \cdot E = 0, \therefore \nabla \times \nabla \times E = \nabla(\nabla \cdot E) - \nabla^2 E = -\nabla^2 E$

又 $\because n = \sqrt{\epsilon / \epsilon_0}, k = k_0 n, k_0 = \omega / c$

$$\text{上式可化简为: } \nabla^2 \vec{E}(\vec{k}, \omega) + k^2 \vec{E}(\vec{k}, \omega) = -\frac{k_0^2}{\epsilon_0} \vec{P}_{NL}(\vec{k}', \omega) \quad (6)$$

1) 从麦克斯韦方程到各项同性介质中的频率波动方程

单色光情况 考虑光场为三色平面波, 沿 z 传播, 振幅随 z 变化, 不随时间变化

$$\vec{E}(\vec{k}, \omega) = \vec{E}(z, \omega) e^{i(kz - \omega t)} \quad \vec{P}_{NL}(\vec{k}, \omega) = \vec{P}_{NL}(z, \omega) e^{i(\vec{k}' z - \omega t)}$$

$$\text{上式带入 (6) 得: } \left(\frac{\partial^2}{\partial z^2} + i2k \frac{\partial}{\partial z} \right) \vec{E}(z, \omega) e^{i(kz - \omega t)} = -\frac{k_0^2}{\epsilon_0} \vec{P}_{NL}(z, \omega) e^{i(\vec{k}' z - \omega t)} \quad (7)$$

$$\text{慢变振幅近似: } \left| \frac{\partial^2}{\partial z^2} \vec{E}(z, \omega) \right| \ll \left| k \frac{\partial}{\partial z} \vec{E}(z, \omega) \right|$$

$$\text{考虑慢变振幅近似带入 (7) 得: } \frac{\partial \vec{E}(z, \omega)}{\partial z} = \frac{i\omega}{2\epsilon_0 c n} \vec{P}_{NL}(z, \omega) e^{i\Delta \vec{k} z} \quad (8)$$

$$\Delta \vec{k} = \vec{k}' - \vec{k}$$

各项同性介质中的频率波动方程

2) 从各向同性介质中频率波动方程出发, 加入基波小信号近似

得到三次谐波波动方程

$$\frac{\partial \vec{E}(z, \omega)}{\partial z} = \frac{i\omega}{2\epsilon_0 c n} \vec{P}_{NL}(z, \omega) e^{i\Delta \vec{k} z}, \Delta \vec{k} = \vec{k}' - \vec{k} \quad E(z, \omega) = E(0, \omega) = \text{常数}$$

$$\Delta \vec{k} = \vec{k}' - \vec{k}$$

$$\frac{\partial E_{3\omega}(z)}{\partial z} = i \frac{3\omega}{2\epsilon_0 c n_{3\omega}} P_{3\omega}^{(3)}(z) e^{-i\Delta k z} \quad (4-6)$$

$$P_{3\omega}^{(3)}(z) = \epsilon_0 \chi^{(3)}(3\omega; \omega, \omega, \omega) E_{\omega}^3(z) \quad (4-7)$$



$$\frac{\partial E_{3\omega}(z)}{\partial z} = i \frac{3\omega}{2c n_{3\omega}} \chi^{(3)}(3\omega; \omega, \omega, \omega) E_{\omega}^3(z) e^{-i\Delta k z} \quad (4-8)$$

$$\Delta k = k_{3\omega} - 3k_{\omega} = \frac{3\omega}{c} (n_{3\omega} - n_{\omega}) \quad (4-9)$$

3) 解方程

$$\frac{\partial E_{3\omega}(z)}{\partial z} = i \frac{3\omega}{2cn_{3\omega}} \chi^{(3)}(3\omega, \omega, \omega, \omega) E_{\omega}^3(z) e^{-i\Delta k z} \quad (4-8)$$

$$\Delta k = k_{3\omega} - 3k_{\omega} = \frac{3\omega}{c} (n_{3\omega} - n_{\omega}) \quad (4-9)$$

在式 (4-8) 中, $\chi^{(3)}(3\omega; \omega, \omega, \omega)$ 和 $E_{\omega}(z) = E_{\omega}(0)$ 为常数, 设晶体长度为 L , 进行积分得:

$$E_{3\omega}(L) = -\frac{3\omega}{2cn_{3\omega}\Delta k} \chi^{(3)} E_{\omega}^3(0) (e^{-i\Delta k L} - 1) \quad (4-10)$$

3) 解方程

求出 $|E_{3\omega}(L)|^2 = E_{3\omega}(L) \cdot E_{3\omega}^*(L)$, 利用功率公式:

$$I_{3\omega}(L) = \frac{1}{2} \varepsilon_0 c n_{3\omega} |E_{3\omega}(L)|^2 \quad (4-11)$$

$$I_{\omega}(0) = \frac{1}{2} \varepsilon_0 c n_{\omega} |E_{\omega}(0)|^2 \quad (4-12)$$

输出光强: $I_{3\omega}(L) = \frac{9\omega^2 L^2}{\varepsilon_0^2 c^4 n_{\omega}^3 n_{3\omega}} |\chi^{(3)}|^2 I_{\omega}^3(0) \sin^2\left(\frac{\Delta k L}{2}\right) \quad (4-13)$

转换效率: $\eta = \frac{P_{3\omega}(L)}{P_{\omega}(0)} = \frac{9\omega^2 L^2}{\varepsilon_0^2 c^4 n_{\omega}^3 n_{3\omega}} |\chi^{(3)}|^2 \left(\frac{P_{\omega}(0)}{S}\right)^2 \sin^2\left(\frac{\Delta k L}{2}\right) \quad (4-14)$

在相位匹配条件下, 要求 $\Delta k = 0, n_{3\omega} = n_{\omega}$, 此时有最大的三倍频转换效率:

$$\eta = \frac{9\omega^2 L^2}{\varepsilon_0^2 c^4 n_{\omega}^4 S^2} |\chi^{(3)}|^2 [P_{\omega}(0)]^2 \quad (4-15)$$

二、简答题 (共 2 小题, 每小题 15 分, 共 30 分)

1、什么是双折射相位匹配和准相位匹配 (5 分); 铁电畴的调制方法有哪些 (5 分); 如何提高二次谐波转换效率 (5 分)。

- 双折射相位匹配指利用晶体双折射效应弥补材料色散, 使波矢失配量为 0
- 准相位匹配是一种相位匹配技术, 它通过在非线性媒介中构建周期性结构, 有规则的矫正非线性光学相互作用过程中光波的相位或振幅, 使非线性光场的振幅随作用距离的增加而上升, 实现相位匹配 ($\Delta k + G_m = 0$)。
- 铁电畴调制方法: 晶体生长、电场极化、飞秒激光擦除或极化
- 提高二次谐波转换效率: 选择合适的晶体; 满足相位匹配条件; 增加相互作用距离 (避免走离效应); 选择较大的有效非线性系数 d_{eff} , 增加入射光的强度

2、请列举至少 4 种三阶光学非线性效应（5 分）；什么是光克尔效应（7 分）？它是几阶光学非线性效应，主要特点是什么（3 分）？

三次谐波	$(\omega_1 + \omega_1 + \omega_1)$	$D = 1$
四波混频	$(\omega_1 + \omega_2 + \omega_3)$	$D = 6$
简并四波混频	$(\omega_1 - \omega_1 + \omega_1)$	$D = 3$
四波混频相位共轭	$(\omega_1 + \omega_2 - \omega_3)$	$D = 6$
自相位调制光克尔效应 (自聚焦、饱和吸收)	$(\omega_1 - \omega_1 + \omega_1)$	$D = 3$
交叉相位调制光克尔效应 (双光子吸收)	$(\omega_2 - \omega_2 + \omega_1)$	$D = 6$
斯托克斯拉曼散射	$(\omega_1 - \omega_1 + \omega_2)$	$D = 6$
反斯托克斯拉曼散射	$(\omega_1 + \omega_1 - \omega_2)$	$D = 3$

光克尔效应定义

光克尔效应是入射光的光电场直接引起介质折射率变化的效应，其折射率变化大小 Δn 与光电场振幅的平方 $|E|^2$ 成正比，即 $\Delta n \propto |E|^2$ ，或与光强 I 成正比。

光克尔是三阶非线性效应；它的特点就是，入射光会引起介质折射率的变化。

三、综合题（共 2 小题，每小题 20 分，共 40 分）

1、请利用偶极子模型，推导受激拉曼散射的增益因子（10 分）？请简述微纳光学的发展对于拉曼散射研究的影响（10 分）。

已知条件

1) 斯托克斯散射光场的增益因子 (根据耦合波方程)

在各向同性介质中, 频率为 ω_p 的泵浦光场 $E_p(\omega_p)$ 入射介质, 与介质发生作用产生频率为 ω_s 的斯托克斯散射光场 $E_s(\omega_s)$, 两者沿 z 向传播, 在相位匹配条件下, $E_s(z, \omega_s)$ 的非线性耦合波方程为

$$\frac{dE_s(\omega_s, z)}{dz} = \frac{i\omega_s}{2n_s c \epsilon_0} P(\omega_s, z)$$

斯托克斯拉曼散射的光子能量守恒与动量守恒关系为

$$\omega_s = \omega_p - \omega_p + \omega_s$$

$$\mathbf{k}_s = \mathbf{k}_p - \mathbf{k}_p + \mathbf{k}_s$$

1) 斯托克斯散射光场的增益因子 (根据耦合波方程)

已知条件

$$\frac{dE_s(\omega_s, z)}{dz} = \frac{i\omega_s}{2n_s c \epsilon_0} P(\omega_s, z)$$

非线性极化强度为

$$P^{(3)}(\omega_s) = 6\epsilon_0 \chi_R^{(3)}(\omega_s; \omega_p, -\omega_p, \omega_s) E_p E_p^* E_s$$
$$\frac{dE_s(\omega_s)}{dz} = \frac{3i\omega_s}{n_s c} \chi_R^{(3)} |E_p|^2 E_s$$

式中, $\chi_R^{(3)}(\omega_s; \omega_p, -\omega_p, \omega_s)$ 为斯托克斯拉曼散射光场的极化率, 简化为 $\chi_R^{(3)}(\omega_s)$

可分为实部和虚部两部分: $\chi_R^{(3)}(\omega_s) = \chi_R'(\omega_s) + i\chi_R''(\omega_s)$

实部反应折射率的变化, 虚部反应吸收系数的变化。仅研究散射过程中光与介质的能量交换关系, 所以只保留虚部项。

$\chi_R^{(3)}(\omega_s)$ 只取虚部项得

1) 斯托克斯散射光场的增益因子 (根据耦合波方程)

$$\frac{dE_s(z)}{dz} = -\frac{3\omega_s}{cn_s} \chi_R''(\omega_s) |E_p|^2 E_s(z)$$

利用 $I = \frac{1}{2} \epsilon_0 c n_0 |E_p|^2$, 以光强 I_p 代替 $|E_p|^2$, 解得

$$E_s(z) = E_{s0} \exp\left[-\frac{6\omega_s}{\epsilon_0 c^2 n_p n_s} \chi_R''(\omega_s) I_p z\right] = E_{s0} \exp\left[-\frac{1}{2} g I_p z\right]$$

其中 g 因子为

$$g = -\frac{12\omega_s}{\epsilon_0 c^2 n_p n_s} \chi_R''(\omega_s)$$

2) 受激拉曼散射极化率公式推导

A. 得到 E :

为求场强平均值, 假设介质中的总光场是泵浦光场与斯托克斯光场之和:

$$E(z, t) = E_p e^{-i(\omega_p t - k_p z)} + E_s e^{-i(\omega_s t - k_s z)} + c. c. \quad (6-22)$$

其中定义

$$K = k_p - k_s \quad \Omega = \omega_p - \omega_s$$

2) 受激拉曼散射极化率公式推导

B. 得到 α_{NL}

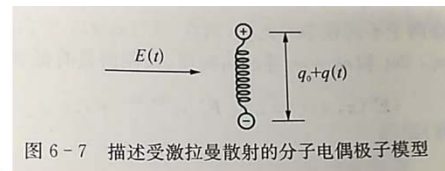


图 6-7 描述受激拉曼散射的分子电偶极子模型

电偶极子在光电场作用下的极化强度为

$$p(z, t) = \epsilon E(z, t)$$

其中介电常数与电偶极子极化率的关系为

$$\epsilon = \epsilon_0 (1 + \alpha)$$

电偶极子的极化率是时间的函数:

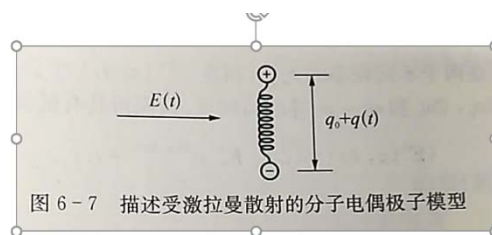
$$\alpha(t) = \alpha_0 + \left(\frac{\partial \alpha}{\partial q} \right)_0 q(t) \quad (6-19)$$

必须要求 $q(t)$

2) 受激拉曼散射极化率公式推导

C. 得到 $q(t)$

C1. 写出方程



分子偶极子受迫振动的经典运动方程为

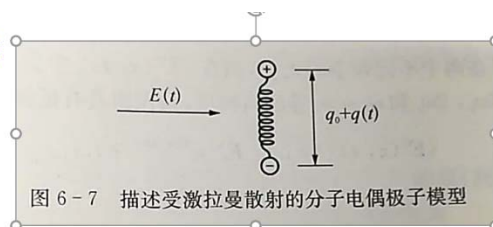
$$\frac{\partial^2 q(t)}{\partial t^2} + 2\gamma \frac{\partial q(t)}{\partial t} + \omega_v^2 q(t) = \frac{F(z, t)}{m} \quad (6-16)$$

式中 $F(z, t)$ 为外电场作用力; m 为组成偶极子的原子的质量。

2) 受激拉曼散射极化率公式推导

C. 得到 $q(t)$

C2. 化简F



电偶极子的静电能为

$$W = \frac{1}{2} [p(z, t) \cdot E(z, t)] = \frac{1}{2} \epsilon_0 (1 + \alpha) \langle E^2(z, t) \rangle \quad (6-20)$$

$\langle \rangle$ 表示在一个光学周期内的时间平均(可能包含几个频率分量)。

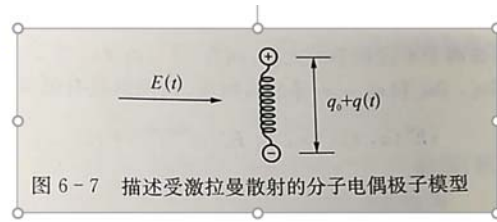
电偶极子在外场所受的电场力是静电能对偶极子长度变化的导数, 利用 (6-20) 和 (6-19) 得

$$F(z, t) = \frac{dW}{dq} = \frac{\epsilon_0}{2} \left(\frac{d\alpha}{dq} \right)_0 \langle E^2(z, t) \rangle \quad (6-21)$$

2) 受激拉曼散射极化率公式推导

C. 得到q(t)

C2. 化简F



$$E(z, t) = E_p e^{-i(\omega_p t - k_p z)} + E_s e^{-i(\omega_s t - k_s z)} + c. c.$$

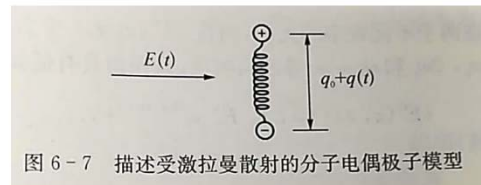
略去含 $2\omega_p, 2\omega_s$ 和 $\omega_p + \omega_s$ 等的高频项, 只保留具有低频 $\omega_p - \omega_s$ 的项, 则有

$$\langle E^2(z, t) \rangle \approx 2E_p E_s^* e^{-i(\Omega t - kz)} + c. c.$$

2) 受激拉曼散射极化率公式推导

C. 得到q(t)

C3. 解方程



又因为q(t)的尝试解 $q(t) = q(\Omega) e^{-i(\Omega t - kz)} + c. c.$

方程 $\frac{\partial^2 q(t)}{\partial t^2} + 2\gamma \frac{\partial q(t)}{\partial t} + \omega_v^2 q(t) = \frac{F(z, t)}{m}$ 化为:

$$-\Omega^2 q(\Omega) - 2i\Omega\gamma q(\Omega) + \omega_v^2 q(\Omega) = \frac{\epsilon_0}{m} \left(\frac{\partial \alpha}{\partial q} \right)_0 E_p E_s^*$$

因此得到电偶极子振动的振幅

$$q(\Omega) = \frac{(\epsilon_0/m)(\partial \alpha / \partial q)_0 E_p E_s^*}{\omega_v^2 - \Omega^2 - 2i\Omega\gamma} \quad (6-28)$$

2) 受激拉曼散射极化率公式推导

D. 整理P和E的关系 三阶极化强度为

$$\begin{aligned} P^{(3)}(z, t) = \epsilon_0 N \left(\frac{\partial \alpha}{\partial q} \right)_0 & [q(\Omega) e^{-i(\Omega t - kz)} + c. c.] \\ & \times [E_p e^{-i(\omega_p t - k_p z)} + E_s e^{-i(\omega_s t - k_s z)} + c. c.] \end{aligned}$$

非线性极化强度包含若干不同的频率差成分。其中频率为 ω_s 的斯托克斯光引起介质的非线性极化强度可表示为：

$$P_s^{(3)}(z, t) = P^{(3)}(\omega_s) e^{-i(\omega_s t - k_s z)} + c. c. \quad (6-32)$$

斯托克斯光三阶非线性极化强度的振幅为

$$P^{(3)}(\omega_s) = \epsilon_0 N \left(\frac{\partial \alpha}{\partial q} \right)_0 q^*(\Omega) E_p \quad (6-33)$$

E. 得到三阶极化率

结合 $P^{(3)}(\omega_s) = \epsilon_0 N \left(\frac{\partial \alpha}{\partial q} \right)_0 q^*(\Omega) E_s \quad (6-33)$

$$q(\Omega) = \frac{(\epsilon_0/m)(\partial \alpha / \partial q)_0 E_p E_s^*}{\omega_v^2 - \Omega^2 - 2i\Omega\gamma} \quad (6-28)$$

得到：

$$P^{(3)}(\omega_s) = \frac{\epsilon_0^2 (N/m)(\partial \alpha / \partial q)_0^2 |E_p|^2 E_s}{\omega_v^2 - \Omega^2 + 2i\Omega\gamma} \quad (6-34)$$

与 $P^{(3)}(\omega_s) = 6\epsilon_0 \chi_R^{(3)}(\omega_s; \omega_p, -\omega_p, \omega_s) E_p E_p^* E_s$ 比较

$$\chi_R^{(3)}(\omega_s) = \frac{\epsilon_0 (N/6m)(\partial \alpha / \partial q)_0^2}{\omega_v^2 - (\omega_p - \omega_s)^2 + 2i(\omega_p - \omega_s)\gamma} \quad (6-36)$$

2) 受激拉曼散射极化率公式推导

F. 讨论三阶极化率 $\chi_R^{(3)}(\omega_s) = \frac{\epsilon_0(N/6m)(\partial\alpha/\partial q)_0^2}{\omega_v^2 - (\omega_p - \omega_s)^2 + 2i(\omega_p - \omega_s)\gamma}$

考虑近共振条件 $\omega_p - \omega_s \approx \omega_v$, 则 (6-36) 也可表示为:

$$\chi_R^{(3)}(\omega_s) \approx \frac{\epsilon_0(N/12m\omega_v)(\partial\alpha/\partial q)_0^2}{(\omega_s - \omega_p + \omega_v) + i\gamma} \quad (6-37)$$

根据定义 $\chi_R^{(3)}(\omega_s) = \chi'_R(\omega_s) + i\chi''_R(\omega_s)$, 可将以上三阶极化率分为实部和虚部两部分

$$\chi'_R(\omega_s) \approx \frac{\epsilon_0 N (\partial\alpha/\partial q)_0^2 (\omega_v - \omega_p + \omega_s)}{12m\omega_v [(\omega_s - \omega_p + \omega_v)^2 + \gamma^2]} \quad (6-38)$$

$$\chi''_R(\omega_s) \approx \frac{-\epsilon_0 N (\partial\alpha/\partial q)_0^2 \gamma}{12m\omega_v [(\omega_s - \omega_p + \omega_v)^2 + \gamma^2]} \quad (6-39)$$

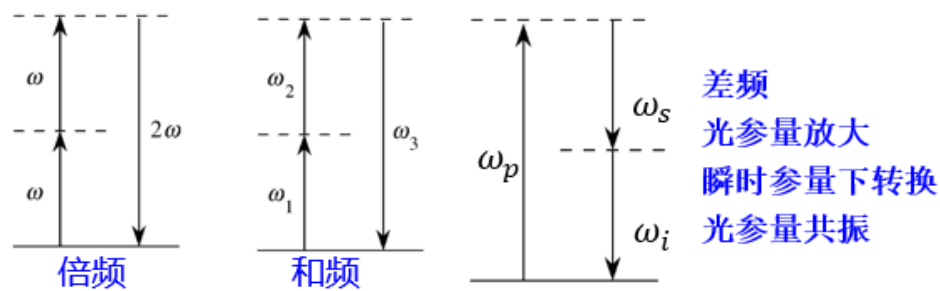
结合 (6-39) 和 (6-15)

$$g = \frac{\omega_s N (\partial\alpha/\partial q)_0^2 \gamma}{c^2 n_p n_s m \omega_v [(\omega_s - \omega_p + \omega_v)^2 + \gamma^2]}$$

微纳光学发展对于拉曼散射研究的影响: 1) 拉曼散射总体来说信号较弱, 微纳光学的发展使得人们可以按需制备人工功能微纳光学结构, 增强光与物质相互作用, 从而也就增强了拉曼散射信号。具有代表性的研究有表面等离激元结构增强拉曼散射基底, 针尖增强拉曼等等。2) 微纳光学的发展对于开发拉曼散射器件起到了推动影响, 比如开发基于拉曼信号的信息隐藏器件等。3) 微纳光学的发展使得人们可以在量子极限研究拉曼散射, 比如单光子量级的拉曼散射等。

2、三波混频效应有哪些, 请用虚拟能级图表示 (5 分)。若提供一个 1064 nm 光源和若干元器件, 包括 BBO 晶体 (透光波段 190 nm -3500 nm, 匹配输出波长 190 nm -2750 nm)、分束镜、反射镜、和角度控制装置, 请问: 如何实现一个覆盖波长 200 nm~2700 nm 的可调谐光源 (需说明具体非线性过程; 相互作用光场类型, 如泵浦光、二次谐波等; 每个过程对应的波长或波长范围) (10 分)? 如果允许替换元器件, 如何将波长调谐范围拓展到 200 nm~4000 nm (5 分)?

(1) 三波混频效应



(2)

- 1064 nm 倍频 532 nm; 1064 nm+532 nm 和频成 355 nm, 作为泵浦源;
- 355nm 泵浦 OP0, 产生信号光和闲频光, 覆盖 400 nm-2700 nm
- 剩余 355 nm 与 400 nm-2700 nm 光和频, 产生 190nm-355nm; 剩余 1064 nm 与 400 nm-2700 nm 光和频, 产生 355-400 nm。 (参考答案)

实际系统的设计:

292nm~400nm: OP0 信号光 (400~700nm) 与残余 1064nm 和频

234nm~292nm: 信号光 (468nm~584nm) 单独倍频;

192nm~234nm: 信号光 (420nm~680nm) 和 355nm 和频

(3) 采用周期性极化晶体 (PPLN、PPLT 等), 作为 OP0 中的增益介质, 在 1064nm 光泵浦下, 通过周期、温度调控, 产生中红外激光, 波长可以覆盖到 2700 nm-4000nm. (要点, 需要找到透光和匹配波导覆盖 2700nm-4000nm 的晶体或周期性极化晶体)